

# ПЕРЕНОС ЭНЕРГИИ МЕЖДУ ЛОКАЛЬНЫМИ ЦЕНТРАМИ С УЧЕТОМ ВЗАИМОДЕЙСТВИЯ ВОЗБУЖДЕНИЙ С РЕШЕТКОЙ

Б.П. Антонюк

Изменение заселенности электронных уровней локальных центров, возникающее при переносе возбуждения, в случае слабого электрон-фононного взаимодействия вызывает медленное изменение положений равновесия атомов решетки. Это приводит к колебаниям энергии электронных уровней, что существенно влияет на кинетику переноса возбуждения и, в частности, может привести к его локализации.

Перенос энергии между локальными центрами изучался в большом количестве работ (см.<sup>1</sup>) Во всех теоретических работах, в которых учитывалось взаимодействие возбуждений с решеткой, диполь-дипольное взаимодействие (или взаимодействие высших мультиполей) рассматривалось по теории возмущений. Существуют, однако, ситуации, когда условия ее применимости не выполнены. В настоящей работе без использования теории возмущений решается задача о развитии во времени состояния двух центров, один из которых в начальный момент времени находился в возбужденном состоянии, другой – в основном (температура считается нулевой). Будем исходить из гамильтониана:

$$\frac{1}{\hbar} H = \epsilon_1 a_1^\dagger a_1 + \epsilon_2 a_2^\dagger a_2 + \epsilon_1 c_1^\dagger c_1 + \epsilon_2 c_2^\dagger c_2 + \sum_{\mathbf{k}\lambda} \omega_{\mathbf{k}\lambda} b_{\mathbf{k}\lambda}^\dagger b_{\mathbf{k}\lambda} + \sum_{\mathbf{k}\lambda} \omega_{\mathbf{k}\lambda} a_2^\dagger a_2 (b_{\mathbf{k}\lambda} u_{\mathbf{k}\lambda}^* l^{i\mathbf{kR}_a} + \\ + \text{c.c.}) + \sum_{\mathbf{k}\lambda} \omega_{\mathbf{k}\lambda} c_2^\dagger c_2 (b_{\mathbf{k}\lambda} u_{\mathbf{k}\lambda}^* l^{i\mathbf{kR}_c} + \text{c.c.}) + V (a_1^\dagger a_2 + a_2^\dagger a_1) (c_1^\dagger c_2 + c_2^\dagger c_1), \quad (1)$$

где  $\epsilon_1, \epsilon_2$  – энергии основного и возбужденного состояний,  $a_1, a_2$  – электронные операторы, соответствующие первому центру,  $c_1, c_2$  – второму,  $\mathbf{R}_a, \mathbf{R}_c$  – координаты центров,  $b_{\mathbf{k}\lambda}$  – фононные операторы,  $\omega_{\mathbf{k}\lambda}$  – фононные частоты,  $V$  – матричный элемент диполь – дипольного взаимодействия. Решение уравнения Шредингера  $i\hbar \dot{\Psi} = H\Psi$  будем искать в виде

$$\Psi = (\prod_{\mathbf{k}\lambda} \exp(-g_{\mathbf{k}\lambda} b_{\mathbf{k}\lambda}^\dagger + g_{\mathbf{k}\lambda}^* b_{\mathbf{k}\lambda})) (a_1 a_2^\dagger c_1^\dagger + a_2 a_1^\dagger c_2^\dagger) |0\rangle, \quad (2)$$

где  $g_{\mathbf{k}\lambda}, a_1, a_2$  – комплексные функции времени  $t$ . Так как в начальный момент времени электронная подсистема по определению находилась в состоянии  $a_1^\dagger c_1^\dagger |0\rangle$ , а взаимодействие  $V$  таково, что связывает его лишь с состоянием  $a_1^\dagger c_2^\dagger |0\rangle$ , то состояния  $a_2^\dagger c_2^\dagger |0\rangle$  и  $a_1^\dagger c_1^\dagger |0\rangle$  никак не затрагиваются и, поэтому, отсутствуют в (2). Подставим (2) в уравнение Шредингера. Умножая обе его части на  $\langle 0 | c_1 a_2 \prod_{\mathbf{k}\lambda} \exp(g_{\mathbf{k}\lambda} b_{\mathbf{k}\lambda}^\dagger - g_{\mathbf{k}\lambda}^* b_{\mathbf{k}\lambda}) |0\rangle$ ,

$$<0|c_2a_1\prod_{\mathbf{k}\lambda}\exp(g_{\mathbf{k}\lambda}b_{\mathbf{k}\lambda}^*-g_{\mathbf{k}\lambda}^*b_{\mathbf{k}\lambda}), <0|b_{\mathbf{k}\lambda}(a_1^*c_1a_2+a_2c_2a_1)\prod_{\mathbf{k}\lambda}\exp(g_{\mathbf{k}\lambda}b_{\mathbf{k}\lambda}^*-g_{\mathbf{k}\lambda}^*b_{\mathbf{k}\lambda}),$$

получим систему уравнений для  $g_{\mathbf{k}\lambda}$ ,  $a_1$ ,  $a_2$

$$i\dot{a}_1[1+\frac{1}{2}\sum_{\mathbf{k}\lambda}(\dot{g}_{\mathbf{k}\lambda}^*g_{\mathbf{k}\lambda}-\dot{g}_{\mathbf{k}\lambda}g_{\mathbf{k}\lambda}^*)]=[e_1+e_2-\sum_{\mathbf{k}\lambda}(\omega_{\mathbf{k}\lambda}u_{\mathbf{k}\lambda}^*g_{\mathbf{k}\lambda}l^{i\mathbf{kR}_a}+\text{э.с.})]a_1+\nabla a_2, \quad (3)$$

$$i\dot{a}_2[1+\frac{1}{2}\sum_{\mathbf{k}\lambda}(\dot{g}_{\mathbf{k}\lambda}^*g_{\mathbf{k}\lambda}-\dot{g}_{\mathbf{k}\lambda}g_{\mathbf{k}\lambda}^*)]=[e_1+e_2-\sum_{\mathbf{k}\lambda}(\omega_{\mathbf{k}\lambda}u_{\mathbf{k}\lambda}^*g_{\mathbf{k}\lambda}l^{i\mathbf{kR}_c}+\text{э.с.})]a_2+\nabla a_1,$$

$$\dot{g}_{\mathbf{k}\lambda}=\omega_{\mathbf{k}\lambda}g_{\mathbf{k}\lambda}-\omega_{\mathbf{k}\lambda}n_su_{\mathbf{k}\lambda},$$

$$\text{где } n_s = n_{2c}l^{-i\mathbf{kR}_c} + n_{2a}l^{-i\mathbf{kR}_a}, \quad n_{2c} = \langle\Psi|c_2^+c_2|\Psi\rangle = |a_2|^2,$$

$$n_{2a} = \langle\Psi|a_2^+a_2|\Psi\rangle = |a_1|^2.$$

Как видно ниже, скорость изменения  $n_s$  определяется  $\max(V, f_e)$ , где  $f_e = \sum_{\mathbf{k}\lambda}\omega_{\mathbf{k}\lambda}|u_{\mathbf{k}\lambda}|^2 \times (1 - \cos k(\mathbf{R}_a - \mathbf{R}_c))$ ,  $\omega_D$  – дебаевская частота. Поэтому с точностью до членов  $|V|/\omega_D \ll 1$ ,  $(f_e/\omega_D) \ll 1$  можно ограничиться квазистатическим решением третьего уравнения системы (3)  $g_{\mathbf{k}\lambda} = n_s u_{\mathbf{k}\lambda}$ . Подставляя это выражение в первые два уравнения (3) с указанной точностью получаем:

$$i\ddot{a}_1 = (\epsilon_1 + \epsilon_2 - 2fn_{2a} - 2f'n_{2c})a_1 + \nabla a_2, \quad (4)$$

$$i\ddot{a}_2 = (\epsilon_1 + \epsilon_2 - 2fn_{2c} - 2f'n_{2a})a_2 + \nabla a_1,$$

где

$$f = \sum_{\mathbf{k}\lambda}\omega_{\mathbf{k}\lambda}|u_{\mathbf{k}\lambda}|^2 \quad f' = \sum_{\mathbf{k}\lambda}\omega_{\mathbf{k}\lambda}|u_{\mathbf{k}\lambda}|^2 \cos k(\mathbf{R}_a - \mathbf{R}_c).$$

Константа  $f$  представляет собой Стоксов сдвиг энергии (или фактор Хуанга – Риса). Константа  $f'$  описывает сдвиг уровня одного атома под влиянием деформации, создаваемой другим атомом. Так как  $n_{2a} + n_{2c} = |a_1|^2 + |a_2|^2 = 1$ , то учет  $f'$  приводит лишь к перенормировке  $f \rightarrow f - f' \equiv f_e$ .

Введем переменные  $n = |a_2|^2 - |a_1|^2$ ,  $p = a_1a_2^* + a_1^*a_2$ ,  $r = i a_1a_2^* - ia_1^*a_2$ . Дифференцируя их и используя (4) получаем:

$$\begin{aligned} \dot{n} &= -2\nabla r, \\ \dot{p} &= -2f_e nr, \\ \dot{r} &= 2\nabla n + 2f_e np. \end{aligned} \quad (5)$$

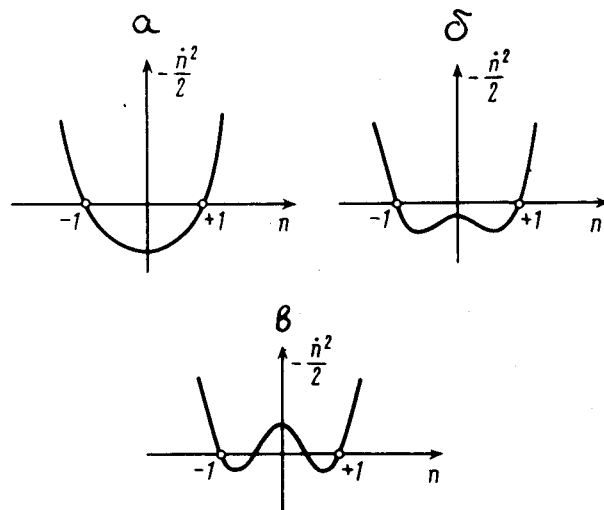
Будем считать, что в начальный момент времени возбуждена примесь  $a$  ( $n_{2a} = |a_1|^2 = 1$ ,  $n_{2c} = |a_2|^2 = 0$ ). Соответственно этому будем определять константы интегрирования  $C$ . Исключая из (5)  $p$  и  $r$ , получим

$$\frac{\dot{n}^2}{2} + (2V^2 - f_e^2)n^2 + \frac{1}{2}f_e^2n^4 + C = 0, \quad (6)$$

что совпадает с уравнением движения классической частицы в заданном потенциальном рельефе. Его вид зависит от соотношения параметров  $f_e$  и  $V$  и изображен на рисунке. Видно, что при  $f_e < 2|V|$  возбуждение из одного центра через некоторое время полностью переходит на другой (из точки  $n = -1$  в точку  $n = 1$ ). Ситуация изменяется в случае, когда  $f_e \geq 2|V|$  (рис. 6). Решение (6) в этом случае имеет вид (см. 2):

$$n^2(t) = 1 - \frac{4V^2}{f_e^2} \operatorname{Sn}^2 f_e t,$$

где  $\text{Sn}x$  – эллиптический синус, зависящий кроме указанного аргумента еще и от параметра  $\lambda = |2|V|/f_e$ . При  $\lambda \ll 1$   $\text{Sn}x = \sin x$  – колебания становятся гармоническими и с малой амплитудой. Таким образом, электрон-фононное взаимодействие, оставаясь слабым в обычном смысле слова ( $f_e \ll \omega_D$ ), приводит все же к локализации возбуждения на одном узле, если  $f_e > 2|V|$ .



Вид эффективного потенциала в случае  $f_e < \sqrt{2}|V|$   
(a),  $\sqrt{2}|V| < f_e < 2|V|$  (б),  $f_e > 2|V|$  (в)

Обсуждавшиеся выше колебания заселенностей имеют реальный физический смысл, если их период существенно меньше времени жизни возбуждения. Такие условия выполняются, например, для рубина при низких температурах (см.<sup>2</sup> и цитированную там литературу).

Рассмотренное здесь взаимодействие приводит к интересным особенностям в распространении возбуждений в кристалле. В этом случае вместо (4) с учетом лишь константы  $f$  имеем ( $\epsilon = \epsilon_2$ ,  $\epsilon_1 = 0$ ,  $n$  – номер узла):

$$i\dot{a}_n = (\epsilon - 2f|a_n|^2)a_n + \sum_m V_{nm}a_m,$$

что для состояний большого радиуса дает нелинейное уравнение Шредингера с анизотропной массой. Ограничимся здесь одномерным случаем и учтем взаимодействие  $V$  лишь ближайших соседей. Решение (7) будем искать в виде  $a_n = \varphi(n - st)l^{-iEkt + ikan}$ . Подставляя  $a_n$  в (7), получаем  $s = -2Va \sin ka$  и одномерное уравнение Шредингера для  $\varphi(x)$ , которое, как известно<sup>3</sup>, имеет решение  $\varphi(x) = (\sqrt{k}/2)(1/\cosh x)$ . В нашем случае  $k = k_k = -(f/2a)V \cos ka$ ,  $E_k = \epsilon + (2 + (k_k a)^2)V \cos ka$ . Все выражения справедливы при  $|k_k a| \ll 1$ ,  $a$  – постоянная решетки. Из выражения для  $k_k$  видно, что сколь угодно слабое взаимодействие  $f$  играет кардинальную роль для состояний с  $ka = \pi/2$ . Они всегда являются микроскопическими. В случае же  $f > 2|V|$  – все экситонные состояния являются солитоноподобными и микроскопическими. Область  $ka \approx \pi/2$  является выделенной по той причине, что формально определенная по второй производной от спектра, найденного при  $f = 0$ , эффективная масса экситона обращается в бесконечность, поэтому даже слабое взаимодействие приводит к локализации.

Автор благодарен В.М.Аграновичу, А.Г.Мальшукову, В.И.Рупасову за критическое обсуждение результатов работы.

## Литература

1. Агранович В.М., Галанин М.Д. Перенос энергии электронного возбуждения в конденсированных средах. М.: изд. Наука, 1978.
2. Антонюк Б.П. ЖЭТФ, 1981, 80, 2221.
3. Рашба Э.И. Оптика и спектроскопия. 1957, 2, 88.

Институт спектроскопии  
Академии наук СССР

Поступила в редакцию  
18 декабря 1981 г.